

การใช้คอมพิวเตอร์ช่วยในการวิเคราะห์หาค่าสมรรถนะ ของมอเตอร์แบบบังข้าว

สัญชัยยะ ผสมกุศลศิลป์¹ ประเมิน อุปจัจช์¹
มนพล ลีลาจินดาไกรฤกษ์² และ ศุภี บรรจงจิตตร³
สถาบันเทคโนโลยีพระจอมเกล้าเจ้าคุณทหารลาดกระบัง

บทคัดย่อ

งานวิจัยที่นำเสนอเป็นผลการวิจัยและพัฒนาซอฟต์แวร์เพื่อช่วยวิเคราะห์หาค่าสมรรถนะของมอเตอร์แบบบังข้าว โดยซอฟต์แวร์ที่ถูกพัฒนาขึ้นนี้จะทำงานบนคอมพิวเตอร์ส่วนบุคคลภายใต้ระบบปฏิบัติการวินโดว์ วิธีการคำนวณจะเริ่มต้นด้วย การคำนวณหาค่ากระแสในส่วนต่างๆ ของวงจรสมมูลย์ด้วยการใช้กฎของครามเมอร์ หลังจากนั้นนำค่าที่ได้ไปคำนวณหาค่าสมรรถนะของมอเตอร์ต่อไป ในตอนท้ายได้แสดงถึงตัวอย่างมอเตอร์ชนิดตั้งกล่าวที่นำมาทดสอบกับโปรแกรม นอกจากนี้ประโยชน์ของงานวิจัยชิ้นนี้ยังสามารถช่วยให้เป็นจุดตั้งต้นของการออกแบบมอเตอร์แบบบังข้าวได้ เพราะผลลัพธ์ของโปรแกรมจะช่วยวิเคราะห์ค่าสมรรถนะของมอเตอร์ที่ออกแบบ อันจะสามารถนำไปดำเนินงานในเรื่องของการพัฒนาการออกแบบต่อไปได้

¹ นักศึกษาปริญญาโท ภาควิชาวิศวกรรมไฟฟ้า

² ผู้ช่วยศาสตราจารย์ ภาควิชาวิศวกรรมไฟฟ้า

³ รองศาสตราจารย์ ภาควิชาวิศวกรรมไฟฟ้า

Computer Aided Performance Analysis of Shaded-Pole Motors

Sanchaiya Pasomkusolsil¹ Pramern Oupaja¹

Monthon Leelajindakrairerk² and Sulee Banjongjit³

King Mongkut's Institute of Technology Lardkrabang

Abstract

The development of a software package for performance analysis of single phase shaded-pole motor is presented in this article. This software is run on a personal computer along with Microsoft Windows operating system. The initial stage of this calculation method is to solve the currents in each circuit by Cramer's Rule. Later, the calculated currents are then used for performance calculation. An example of performance analysis of shaded pole motors is shown with Shaded Pole Motor Performance Analysis Program (SHPMPAP). This research can be applied to the design of a shaded-pole motor and to be used as a guide for further development.

¹ Graduate Student, Department of Electrical Engineering

² Assistant Professor, Department of Electrical Engineering

³ Associate Professor, Department of Electrical Engineering

บทนำ

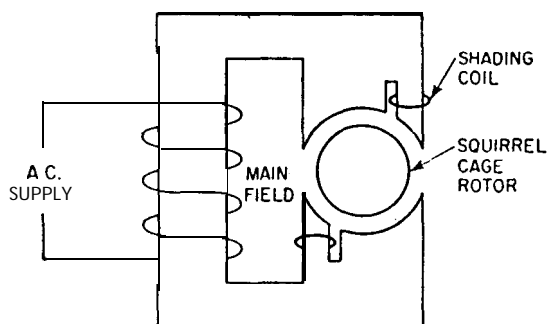
โดยทั่วไปแล้วอุปกรณ์ไฟฟ้าประเภทเครื่องใช้ไฟฟ้าภายในบ้าน อาทิเช่น พัดลมดูดอากาศ เครื่องปรับอากาศ ตู้เย็น ปั๊มขนาดเล็ก เป็นต้น จะใช้มอเตอร์เป็นส่วนประกอบหลักซึ่งสามารถแบ่งแยกออกเป็นอีกหลายชนิด ส่วนใหญ่นั้นก็ยังต้องนำเข้ามาจากต่างประเทศทั้งในรูปватถุดิบและสำเร็จรูป อันทำให้ประเทศไทยต้องสูญเสียเงินตราเป็นค่าลิขสิทธิ์และค่าวัตถุดิบจากต่างประเทศเป็นจำนวนมากหมายต่อไป มอเตอร์แบบบังช้ำนี้ (Shaded pole single phase induction motor) ก็เป็นมอเตอร์หนี่ยวนำชนิดหนึ่งที่นิยมใช้กันอย่างแพร่หลาย ซึ่งผู้ผลิตมอเตอร์ภายนอกในประเทศไทยสามารถที่จะผลิตเองได้แล้ว แต่ผู้ผลิตส่วนใหญ่ยังไม่นิยมทำกัน เพราะประสบปัญหาในเรื่องของ ค่าใช้จ่ายและเครื่องมือหรืออุปกรณ์ที่มาช่วยในการทำวิจัยและพัฒนาเช่น ซอฟท์แวร์ เป็นต้น

ดังนั้นจากปัญหาข้างต้น จึงขอนำเสนองานวิจัยและพัฒนาซอฟต์แวร์เพื่อช่วยวิเคราะห์หาค่าสมรรถนะของมอเตอร์แบบบังช้ำ (Shaded Pole Motor Performance Analysis Program, SHPMPAP) ซึ่งถูกพัฒนาขึ้นมาด้วย Microsoft Visual Basic ซึ่งจะทำงานบนระบบปฏิบัติการ Microsoft Windows อนึ่งวัตถุประสงค์ของการนำเสนองานวิจัยนี้ ยังมิได้มุ่งประเด็นไปที่การนำเอา SHPMPAP มาใช้ทามอเตอร์แบบบังช้ำ ที่มีประสิทธิภาพสูงกว่าในปัจจุบัน แต่จะเป็นการนำเสนอ SHPMPAP มาช่วยในการออกแบบเพื่อให้ผู้ออกแบบมอเตอร์ได้ทราบถึงค่าสมรรถนะต่างๆ ของมอเตอร์ที่ได้ออกแบบเอาไว้และเพื่อเป็นแนวทางในการพัฒนาออกแบบมอเตอร์ให้มีประสิทธิภาพดีขึ้น อีกทั้งยังสามารถนำไปประยุกต์ใช้ในด้านการเรียนการสอนในสถาบันการศึกษา

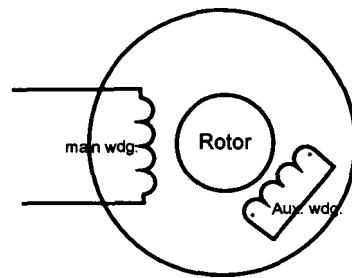
โครงสร้างและหลักการของมอเตอร์แบบบังช้ำ

มอเตอร์แบบบังช้ำ จัดเป็นมอเตอร์หนี่ยวนำเฟสเดียวขนาดเล็กชนิดหนึ่งที่มีขนาดให้เลือกใช้งานตั้งแต่ $1/100$, $1/20$, $1/4$ ไปจนถึง 1 แรงม้า ลักษณะของโครงสร้างและแผนภาพอย่างง่าย ดังแสดงในรูปที่ 1 และรูปที่ 2 ตามลำดับ ตัวสเตเตอร์จะทำมาจากแผ่นโลหะเนินทางๆ อัดแน่นติดกัน โรเตอร์ส่วนใหญ่เป็นแบบกรงกระรอก (squirrel cage) โดยในแต่ละขั้วจะมีขั้วส่วนหนึ่งที่ถูกบังไว้ ตัวที่ไปบังไว้นี้คือชุดลวดตัวนำหรือชุดทองแดงที่ครบวงจรในตัวมันเองอยู่แล้ว ชุดลวดทองแดง ลัดวงจร (short circuit) ที่ໄสไปนี้จะเรียกว่า “ชุดลวดบังช้ำ” (shading coil)

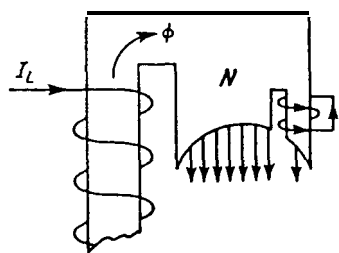
รูปที่ 3 แสดงการเปลี่ยนแปลงของเส้นแรงแม่เหล็กที่เกิดขึ้นในมอเตอร์แบบบังช้ำ การเริ่มหมุนของมอเตอร์แบบบังช้ำ เริ่มจากการป้อนไฟ AC เข้าที่ชุดลวดหลัก (Main winding) ที่พันอยู่รอบๆ ขั้วแม่เหล็ก ในช่วงใช้เคลื่อน จะมีกระแสไหลผ่านชุดลวดหลักทำให้เกิดการหนี่ยวนำแรงเคลื่อนไฟฟ้าขึ้น (หลักการนี้คล้ายๆ กับปฏิกรรมของแม่เหล็กไฟฟ้า) ที่ชุดลวดบังช้ำ อันมีผลทำให้เกิดกระแสจำนวนมากไหลในชุดลวดบังช้ำ กระแส



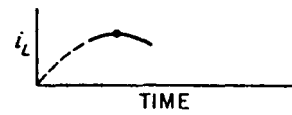
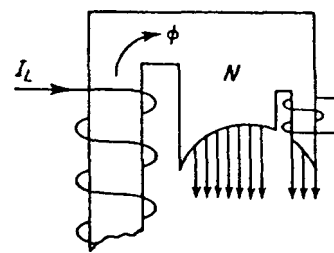
รูปที่ 1 โครงสร้างของมอเตอร์แบบบังข้าว



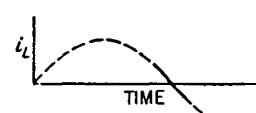
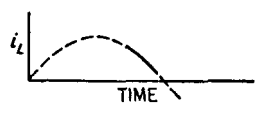
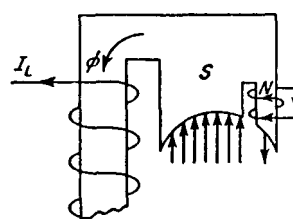
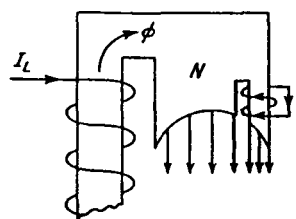
รูปที่ 2 แสดงแผนภาพอย่างง่าย [1]



(n)



(o)



(p)

(q)

รูปที่ 3 แสดงการเปลี่ยนแปลงของเส้นแรงแม่เหล็กของมอเตอร์แบบบังข้าว

ดังกล่าวเป็นตัวทำให้เกิดสนานแม่เหล็กสวนทางกับสนานแม่เหล็กที่เกิดจากชุดลวดหลัก ในช่วงจุดสูงสุดของไซเดิลบาก กระแสในชุดลวดหลักมีค่าสูงสุด การเปลี่ยนแปลงของ เส้นแรงแม่เหล็กข้ามกันหรือแทนจะไม่มีการเปลี่ยนแปลงเลย นั่นคือไม่มีการเหนี่ยวนำแรง เคลื่อนไฟฟ้าขึ้นที่ชุดบังข้าว ฉะนั้นจึงไม่มีกระแสไฟฟ้าในชุดบังข้าว ย่อมทำให้เส้นแรงแม่เหล็กมี ค่าสูงสุด (ไม่มีเส้นแรงสวนจากชุดบังข้าว) และกระแสไปทั้งชุดบังข้าว เมื่อเวลาผ่านไป กระแสในชุดลวดหลักลดลงอย่างรวดเร็วฉะนั้นจึงทำให้เกิดกระแสเหนี่ยวนำขึ้นในชุดบังข้าว ซึ่งมีทิศทางตรงกันข้ามกับการลดลงของกระแสของชุดลวดหลัก ทำให้มีเส้นแรงแม่เหล็กเพิ่มขึ้น ในส่วนที่ถูกพันด้วยชุดบังข้าว ซึ่งจะดูเหมือนว่าข้าวเหนี่ยวนำแม่เหล็กข้าวหนึ่งเลื่อนจากส่วนที่ไม่ได้ ถูกพันด้วยชุดลวดบังข้าวไปยังส่วนที่ถูกพันด้วยชุดลวดบังข้าว

ส่วนในช่วงไซเดิลลบ ก็จะเกิดการเปลี่ยนแปลงของเส้นแรงแม่เหล็กเหมือนกับที่ กล่าวไว้ในตอนต้นแต่จะสลับทิศทางกันเท่านั้นกล่าวคือ ทำให้เกิดข้าวใต้ขึ้นไปในทิศทางที่ทำ ให้สนานแม่เหล็กวิ่งจากส่วนที่ไม่ได้ถูกพันด้วยชุดลวดบังข้าวไปยังส่วนที่ถูกพันด้วยชุดลวดบัง ข้าว ฉะนั้นจึงทำให้มอเตอร์เริ่มหมุนได้

การวิเคราะห์วงจร

ในการพิจารณาเพื่อวิเคราะห์หาค่าคุณลักษณะและสมรรถนะของมอเตอร์แบบบังข้าว นี้ให้ง่ายขึ้น จะต้องเขียนแผนภาพในรูปที่ 2 ใหม่ โดยเขียนให้อยู่ในรูปของวงจรสมมูลย์ทาง ไฟฟ้าดังแสดงอยู่ในรูปที่ 4 ซึ่งได้มาจากการถูกปฏิวัติ cross-field [2] ในมอเตอร์เหนี่ยวนำเฟสเดียว โดยที่ E เป็นแรงดันไฟฟ้าที่ป้อนเข้ามอเตอร์

I_L เป็นกระแสในชุดลวดหลัก

I_1 และ Z_1 เป็นกระแสที่ไหลในชุดลวดหลักและอิมพิเดนซ์ของชุดลวดหลัก

I_a และ Z_a เป็นกระแสที่ไหลในชุดเซดดิ้งและอิมพิเดนซ์ของชุดเซดดิ้ง

I_{2m} เป็นกระแสทางด้านโรเตอร์ในแกน main-field

Z_{2m} เป็นอิมพิเดนซ์ของโรเตอร์เมื่ออ้างอิงถึงชุดลวดหลัก

I_{2a} เป็นกระแสทางด้านโรเตอร์ในแกน cross-field

Z_{2a} เป็นอิมพิเดนซ์ของโรเตอร์เมื่ออ้างอิงถึงชุดเซดดิ้ง

X_{mm} เป็นรีแอคเตนซ์ที่เกิดจากฟลักช์เหนี่ยวนำร่วมในช่องอากาศของชุดลวดหลัก

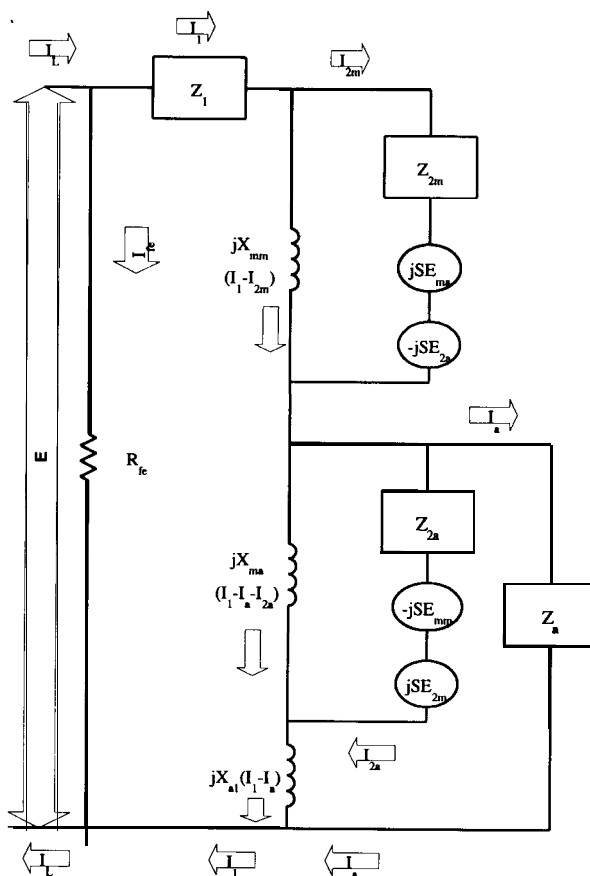
X_{ma} เป็นรีแอคเตนซ์ที่เกิดจากฟลักช์เหนี่ยวนำร่วมในช่องอากาศของชุดเซดดิ้ง

X_{a1} เป็นรีแอคเตนซ์ที่เกิดจากการถูกโรเตอร์, ยาร์โนนิคต่างๆ ในช่องอากาศ

X_{02} เป็นรีแอคเตนซ์ที่โรเตอร์ขณะเปิดวงจร

R_{fe} เป็นความต้านทานที่สูญเสียในแกนเหล็ก

S เป็นอัตราส่วนระหว่างความเร็วของตัวหมุนต่อความเร็วชิงโครนัส



รูปที่ 4 แสดงวงจรสมมูลย์ของมอเตอร์แบบบังหัวเมื่อได้รับการจ่ายแรงดัน

จากการจะสมมูลย์ในรูปที่ 4 ค่าของ I_1 , I_a , I_{2m} , I_{2a} เป็นค่าที่ต้องถูกพิจารณาเป็นพิเศษ เนื่องจากค่าอื่น ๆ ในวงจรสมมูลย์ทราบค่ามาแล้วก่อนที่จะถูกวิเคราะห์และเป็นตัวแปรที่สำคัญที่ใช้ในการหาคุณลักษณะและสมรรถนะของมอเตอร์ เช่น แรงบิด กำลังไฟฟ้า ค่าความสูญเสียต่าง ๆ ซึ่งในการวิเคราะห์หากค่ากระแสเหล่านี้ค่าจะแสดงตามขั้นตอนต่อไปนี้ จากการจะสมมูลย์สามารถเขียนเป็นสมการได้ดังนี้

สมการของส่วนที่ผ่านชุดลวดหลัก (primary)

$$(r_1 + jX_1)I_1 + jX_{mm}(I_1 - I_{2m}) + jX_{al}(I_1 - a) + jX_{ma}(I_1 - I_a - I_{2a}) = E \quad \dots\dots\dots(1)$$

สมการของส่วนที่ผ่านชุดลวดบังหัว (shading coil)

$$(r_a + jX_a)I_a - jX_{al}(I_1 - I_a) - jX_{ma}(I_1 - I_a - I_{2a}) = 0 \quad \dots\dots\dots(2)$$

สมการแทนส่วน Rotor Main Phase

$$(r_{2m} + jX_{2m})I_{2m} - jX_{mm}(I_1 - I_{2m}) - SX_{ma}(I_1 - I_a - I_{2a}) + SX_{2a}I_{2a} = 0 \quad \dots\dots\dots(3)$$

สมการแทนส่วน Rotor Shaded Pole Phase

$$(r_{2a} + jX_{2a})I_{2a} - jX_{ma}(I_1 - I_a - I_{2a}) + SX_{mm}(I_1 - I_{2m}) - SI_{2m}X_{2m} = 0 \quad \dots\dots\dots(4)$$

นำสมการห้ส์สมการหารด้วย X_{02} และคูณสมการ (2), (3)และ(4) ด้วย j

$$\left[\frac{r_1}{X_{02}} + j \frac{X_1 + X_{mm} + X_{ma} + X_{al}}{X_{02}} \right] I_1 + \left[-j \frac{X_{al} + X_{ma}}{X_{02}} \right] I_a + \left[-j \frac{X_{mm}}{X_{02}} \right] I_{2m} + \left[-j \frac{X_{ma}}{X_{02}} \right] I_{2a}$$

$$= \frac{E}{X_{02}} = i_m \quad \dots\dots\dots(5)$$

$$\left[\frac{X_{al} + X_{ma}}{X_{02}} \right] I_1 + \left[j \frac{r_a}{X_{02}} - \frac{x_a + X_{al} + X_{ma}}{X_{02}} \right] I_a + [0] I_{2m} + \left[-\frac{X_{ma}}{X_{02}} \right] I_{2a} = 0 \quad \dots\dots\dots(6)$$

$$\left[\frac{X_{mm}}{X_{02}} - jS \frac{X_{ma}}{X_{02}} \right] I_1 + \left[jS \frac{X_{ma}}{X_{02}} \right] I_a + \left[j \frac{r_2}{X_{02}} - 1 \right] I_{2m} + \left[jS \frac{X_{03}}{X_{02}} \right] I_{2a} = 0 \quad \dots\dots\dots(7)$$

$$\left[\frac{X_{ma}}{X_{02}} + jS \frac{X_{mm}}{X_{02}} \right] I_1 + \left[-\frac{X_{ma}}{X_{02}} \right] I_a + [-jS] I_{2m} + \left[j \frac{r_2}{X_{02}} - \frac{X_{03}}{X_{002}} \right] I_{2a} = 0 \quad \dots\dots\dots(8)$$

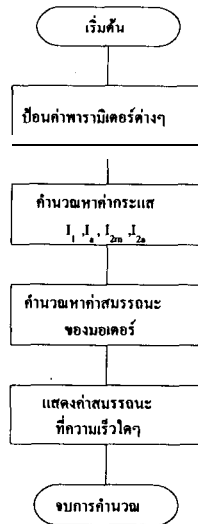
นำสมการที่ (5) ถึง (8) มาเขียนให้อยู่ในรูปเมตริกซ์ ได้ดังนี้

$$\begin{bmatrix} a_1 & b_1 & c_1 & d_1 \\ a_2 & b_2 & c_2 & d_2 \\ a_3 & b_3 & c_3 & d_3 \\ a_4 & b_4 & c_4 & d_4 \end{bmatrix} \begin{bmatrix} I_1 \\ I_a \\ I_{2m} \\ I_{2a} \end{bmatrix} = \begin{bmatrix} E/X_{02} \\ 0 \\ 0 \\ 0 \end{bmatrix}$$

จากนั้นก็ใช้ Cramer's Rule ในการแก้ปัญหาหาค่าของ I_1 , I_a , I_{2m} และ I_{2a} ตามลำดับและนำไปคำนวณหาค่าสมรรถนะต่อไป

ผังงานของการคำนวณ

ในรูปที่ 5 จะแสดงถึงขั้นตอนการทำงานห้ส์สมการของโปรแกรม

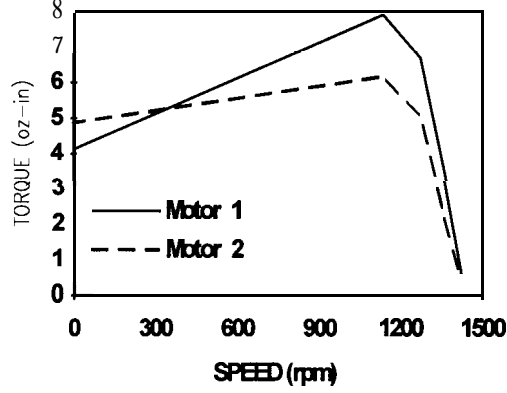
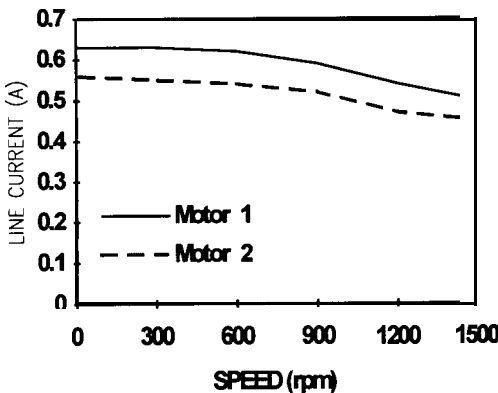
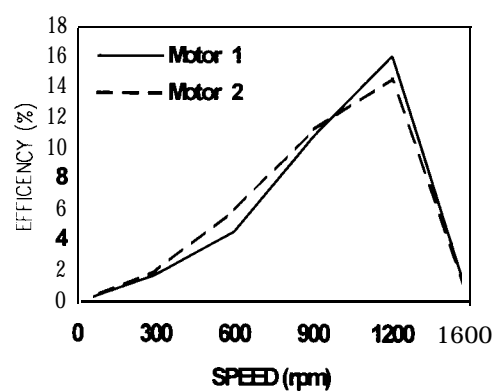
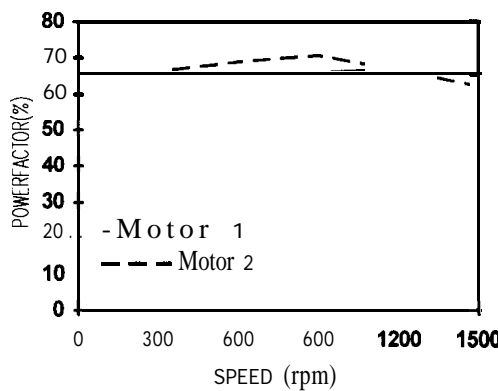
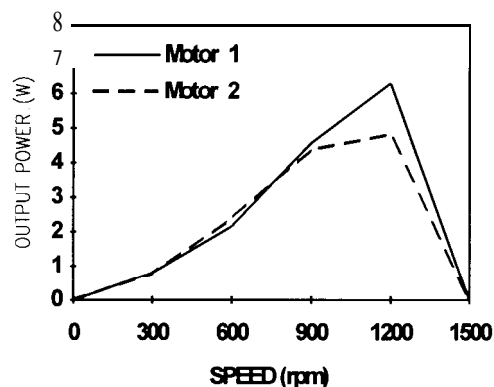
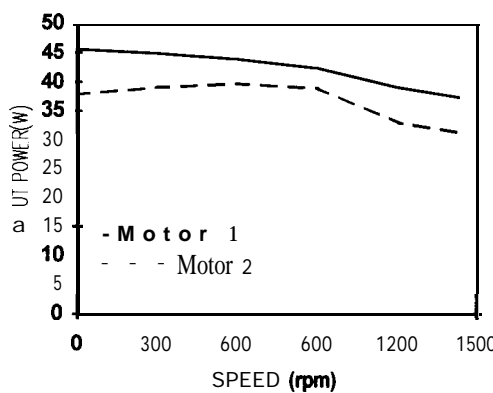


รูปที่ 5 ขั้นตอนการทำงานของโปรแกรม

ตัวอย่างการวิเคราะห์หาค่าสมรรถนะ

ตัวอย่างของการคำนวณที่พิจารณาจากการวิเคราะห์วงจรสมมูลย์ดังข้างต้น โดยใช้ 모เตอร์แบบบังข้าว มีรายละเอียดดังนี้

มอเตอร์ตัวที่ 1 มีแรงดันพิกัด 110 v 8mhp 1425 rpm มีจำนวนขั้วแม่เหล็ก 4 ขั้วแม่เหล็ก ซึ่งแต่ละขั้วนี้ single shading coil มีค่าความต้านทานของชุดลวดหลัก (main winding), ความต้านทานของชุดลวดบังข้าวและความต้านทานแทนส่วนโรเตอร์เท่ากับ 47.4, 90.5 และ 39 โอห์ม ตามลำดับ



รูปที่ 6 แสดงการเปรียบเทียบค่าสมรรถนะต่าง ๆ ระหว่างมอเตอร์ทั้ง 2 ตัว

มอเตอร์ตัวที่ 2 มีแรงดันพิกัด 110 v 8mhp 1495 rpm มีจำนวนขั้วแม่เหล็ก 4 ขั้วแม่เหล็ก ซึ่งแต่ละขั้วมี single shading coil มีค่าความต้านทานของชด漉ดหลัก ความต้านทานของชด漉ดบังข้า และความต้านทานแทนส่วนโรเตอร์เท่ากับ 58.1, 0.0018 และ 65 โอม ตามลำดับ ตัวโรเตอร์เป็นแบบกรุงกระรอก ชด漉ดบังข้าเป็นทองแดง [3] โดยผลการวิเคราะห์หาค่าสมรรถนะต่าง ๆ ของมอเตอร์ทั้ง 2 ตัวจะนำมาเปรียบเทียบกันซึ่งแสดงในรูปที่ 6

การวิจารณ์ผลของการใช้ SHPMAPP

งานวิจัยนี้ นับได้ว่าเป็นเครื่องมือที่ช่วยวิเคราะห์และจำลองให้เห็นถึงค่าสมรรถนะต่าง ๆ ของมอเตอร์แบบบังข้า ซึ่งจากข้อมูลของมอเตอร์ทั้ง 2 ตัว ที่นำมาทดสอบบนได้พลลัพธ์ ดังแสดงในรูปที่ 5 นั้นพบว่า มอเตอร์ตัวที่ 2 มีค่าอิมพิเดนซ์ที่แทนส่วนของชด漉ดหลัก และค่าอิมพิเดนซ์ที่แทนส่วนโรเตอร์มีค่ามากกว่ามอเตอร์ตัวที่ 1 ทำให้กระแส I_1 และ I_{2m} มีค่าน้อย ($I = E/Z$) อันมีผลให้กระแสที่ไฟหล่อในล่วงต่าง ๆ มีค่าลดลงตามไปด้วย เมื่อนำไปคำนวณหาค่าสมรรถนะต่าง ๆ จึงทำให้มีค่าต่ำกว่า ดังนั้นถ้าหากทำการออกแบบ หรือเปลี่ยนแปลงค่าความต้านทานของชด漉ดหลัก ชด漉ดบังข้าของมอเตอร์ตัวที่ 2 ใหม่ ให้มีค่าใกล้เคียงหรือเท่ากับมอเตอร์ตัวที่ 1 แล้วจะมีผลทำให้ค่าประสิทธิภาพของมอเตอร์ตัวที่ 2 ดีขึ้นกว่าเดิม

แต่อย่างไรก็ตาม การออกแบบและวิจัยมอเตอร์ควรที่จะทำการศึกษาถึงผลของพารามิเตอร์อื่น ๆ ที่มีผลต่อประสิทธิภาพ การทำงานของมอเตอร์และเปรียบเทียบผลที่ได้จากโปรแกรมกับเครื่องทดลองมอเตอร์ ทั้งนี้เพื่อตรวจสอบความถูกต้องของโปรแกรมที่จะนำไปใช้งาน รวมทั้งศึกษาทฤษฎีเพิ่มเติมเพื่อปรับปรุง SHPMPAP ให้มีประสิทธิภาพสูงขึ้น อันเป็นวัตถุประสงค์ที่จะดำเนินต่อไปในงานวิจัย

กิตติกรรมประกาศ

งานวิจัยนี้เป็นส่วนหนึ่งของโครงการวิจัยชื่อ“หน่วยวิจัยและบริการเทคโนโลยีมอเตอร์ (Research and Service Unit on Motor Technology)” ของศูนย์เทคโนโลยีอิเล็กทรอนิกส์และคอมพิวเตอร์แห่งชาติ (NECTEC) กระทรวงวิทยาศาสตร์ เทคโนโลยีและสิ่งแวดล้อม และขอขอบคุณ คุณวัลลภ เรืองด้วยธรรม ผู้ช่วยนักวิจัยของโครงการที่กรุณาให้คำปรึกษา

เอกสารอ้างอิง

1. Veinott, C.G., 1986, "Theory and Design of Small Induction Motor", Printed by the Author, Sarssota, Florida, USA.
2. Trickey, P.H., 1981, "Electric Motor and Generator Design Philosophy and Procedures", Printed by Duke University.
3. Guru, B.S., 1983, "**Revolving-Field Analysis a Shaded-Pole Motor**", IEEE Trans., Power Apparatus and Systems, Vol. 102, No.4, pp. 918-927.

ภาคผนวก

ในการหาค่าพารามิเตอร์ต่างๆ นั้น สามารถหาได้จากข้อมูลทางกายภาพของตัวมอเตอร์รวมทั้งจากสูตรการคำนวณของ [2] ดังต่อไปนี้

1. ความต้านทานของชุดลวดหลัก (r_1) สามารถคำนวณหาได้จาก

$$r_1 = R_{wm} p N_m L_m$$

โดยที่ R_{wm} = ความต้านทานประสิทธิผลของขนาดชุดลวดหลัก

p = จำนวนขั้วแม่เหล็ก

N_m = จำนวนรอบของชุดลวดหลักต่อขั้วแม่เหล็ก

L_m = ความยาวโดยเฉลี่ยของชุดลวดหลักหน่วยเป็นนิว

2. ความต้านทานของชุดลวดบังข้า (r_a) สามารถคำนวณหาได้จาก

$$r_a = 1.385 \frac{lmc_a}{S_s} N_2 p \frac{C^2}{C_0 C_a} 10^{-8}$$

lmc_a = ความยาวเฉลี่ยของตัวนำของชุดลวดบังข้า

S_s = พื้นที่หน้าตัดของชุดลวดบังข้า

N_2 = จำนวนรอบของชุดลวดบังข้าต่อขั้วแม่เหล็ก

C_a = จำนวนตัวนำทั้งหมดของชุดลวดบังข้า

3. ความต้านทานโรเตอร์ (r_2) สามารถคำนวณหาได้จาก

$$r_a = \left(\frac{\sqrt{W^2 + SK^2}}{S_c S_s} + \frac{0.637 D_r}{S_r p^2} \right) 1.3856 \cdot 10^{-8}$$

W = ความกว้างของตัวโรเตอร์

SK = การสกิวโรเตอร์หน่วยเป็นนิว

S_c = พื้นที่หน้าตัดของตัวนำบนโรเตอร์หน่วยเป็นตารางนิว

- S_s = จำนวนตัวนำบนโรเตอร์
- S_r = พื้นที่หน้าตัดของวงแหวนหน่วยเป็นตารางนิวตัน
- D_f = เส้นผ่าศูนย์กลางที่ปลายของตัวนำบนโรเตอร์กับวงแหวน

4. อิมพิเดนซ์ของโรเตอร์ (Z_2) จะถูกอ้างอิงแบ่งเป็น 2 ส่วนคือ

4.1 อิมพิเดนซ์ของโรเตอร์เมื่ออ้างอิงถึงชด漉ดหลัก (Z_{2m}) สามารถหาได้จาก

$$Z_{2m} = r_{2m} + x_{2m}$$

4.2 อิมพิเดนซ์ของโรเตอร์เมื่ออ้างอิงถึงชด漉ดบังข้า (Z_{2a})

$$Z_{2a} = r_{2a} + x_{2a}$$

โดยที่ค่า $r_{2m} = r_{2a} = r_2$

$$x_{2a} = x_{2m} = x_2$$

4.2.1 รีแอคแทนซ์ของโรเตอร์เมื่ออ้างอิงถึงชด漉ดหลัก (x_{2m}) จะมีอยู่ 3 ส่วนคือ

$$x_{2m} = x_{slot} + x_{sk} + x_{zz}$$

4.2.1a รีแอคแทนซ์รั้วซึมของช่องสล็อต (x_{slot}) สามารถคำนวณได้จาก

$$x_{slot} = 2\pi f C^2 10^{-8} \left(\frac{0.637W}{S_s} K_s \right)$$

f = ความถี่

C = จำนวนชด漉ดที่พื้นบนชด漉ดหลัก

K_s = ค่าคงที่ของช่องสล็อต

4.2.1b รีแอคแทนซ์รั้วซึมที่เกิดจากการทำสลีดเฉียง (x_{sk}) สามารถคำนวณได้จาก

$$x_{sk} = X_m \left(\frac{1 - C_{sk}}{C_{sk}} \right)$$

โดยที่ $X_m = 2\pi f C^2 10^{-8} \left(\frac{0.647W\lambda_p}{l_g p} \sin^2 \beta / 2 \right) C_{sk}$

l_g = ความยาวของช่องอากาศ

λ_p = ระยะห่างระหว่างข้าแม่เหล็ก

β = มุมของพื้นผิวข้าแม่เหล็ก

$$C_{sk} = \frac{\sin^2 \theta_{sk} / 2}{\theta_{sk} / 2}$$

θ_{sk} = มุมของการสกัดหน่วยเป็นองศาทางไฟฟ้า

4.2.1c รีแอคแทนซ์รั่วซึมชิกแซก (x_{zz}) สามารถคำนวณหาได้จาก

$$x_{\text{zigzag}} = 2\pi f C^2 10^{-8} \left(\frac{6.38W * T_f / 2}{S_s S \Delta} \right)$$

T_f = ความกว้างของช่องอากาศที่พื้นผิวน้ำของโรเตอร์
 Δ = ค่าการเปลี่ยนแปลงความยาวของช่องอากาศ

5. รีแอคแทนซ์ที่เกิดจากฟลักเหนี่ยวนำร่วมมี 2 ส่วนด้วยกันคือ

5.1 รีแอคแทนซ์ที่เกิดจากฟลักเหนี่ยวนำร่วมในช่องอากาศของชด漉ดหลัก

$$x_{mm} = (2\pi f C^2 10^{-8}) \frac{3.19W\lambda_p}{4l_s p} a$$

a = ค่าประสิทธิผลพื้นผิวข้าแม่เหล็ก

5.2 รีแอคแทนซ์ที่เกิดจากฟลักเหนี่ยวนำร่วมในช่องอากาศของชด漉ดบังข้า

$$x_{ma} = 2\pi f C^2 10^{-8} \frac{0.647W\lambda_p}{l_s p} \sin^2 \frac{\beta}{2}$$

6. รีแอคแทนซ์ที่เกิดจากการสกิวโรเตอร์และชาร์โมนิค (x_{a1})

$$x_{a1} = x_h + x_{sk}$$

โดยที่ $x_h = 2\pi f C^2 10^{-8} \left(\frac{0.647W\lambda_p}{l_s p} \sin^2 \frac{\beta}{2} \right) C_s$

$$C_h = \left(\frac{1.232\alpha - \sin^2 \beta / 2}{\sin^2 \beta / 2} \right) = \left(\frac{1.232\alpha}{\sin^2 \beta / 2} - 1 \right)$$

7. รีแอคแทนซ์ของโรเตอร์ขณะเปิดวงจร (x_{02})

$$x_{02} = x_{mm} + x_{2m}$$